

حذف فتوکاتالیستی ترکیبات نفتی از خاک‌های آلوده با استفاده از نانوذرات و تابش نور فرابنفش

احمد روشنی^{*}، سعیده تشرفاتی، حمیده ثمیری جهرمی و حسین عسکرزاده

پژوهشکده محیط زیست و بیوتکنولوژی، پژوهشگاه صنعت نفت

تاریخ دریافت: ۹۲/۹/۱ تاریخ پذیرش: ۹۳/۸/۷

چکیده

خاک‌های آلوده به ترکیبات نفتی بالاخص هیدروکربن‌های پلی آروماتیک یکی از معضلات محیط زیست محسوب می‌شود. این گروه از هیدروکربن‌های نفتی با ترکیبات پیچیده دو حلقه‌ای یا چند حلقه‌ای، از کربن و هیدروژن تشکیل شده‌اند. روش‌های زیادی برای پاک‌سازی خاک‌های آلوده ارائه شده است که اکثراً پر هزینه بوده و دارای فرآیندی پیچیده و دشوارند. هدف از انجام این تحقیق، نحوه استفاده از فرآیند فتوکاتالیستی جهت حذف پایران از هیدروکربن‌های پلی آروماتیک از خاک آلوده است. در این تحقیق، با استفاده از روش رویه پاسخ، نمونه خاک به‌طور مصنوعی با غلظت ۴۰ mg/kg پایران آلوده گردید و با کمک طراحی آزمایش بر سطح آنها غلظت‌های ۲، ۴، ۶ و ۸٪ وزنی از کاتالیست‌های SnO₂ و ZnO نشانده شد. نمونه‌های آلوده به مدت ۱۰، ۱۵ و ۲۰ ساعت در معرض تابش لامپ UV-C در داخل فتوراکتور تخریب قرار گرفتند. غلظت اولیه پایران در خاک و همچنین غلظت‌های متفاوت از کاتالیست‌های مصرفی نشان داد، استفاده از ۱۰٪ وزنی کاتالیست TiO₂ طی ۲۰ ساعت، منجر به حذف ۷۱٪ پایران از خاک شد. میزان کاهش پایران از خاک با استفاده از روش استاندارد D-۵۵۲۰ توسط دستگاه طیف‌سنجی UV فلورسانس تعیین گردید. ادامه فرآیند حذف فتوکاتالیستی هیدروکربن‌های پلی آروماتیک با استفاده از نانو فتوکاتالیزورهای مختلف و تاثیر عواملی نظری نوی و غلظت کاتالیست و زمان تابش UV بررسی شد. همچنین درصد راندمان حذف پایران از خاک آلوده تعیین گردید و طیف‌های جذبی مربوط به آن ارائه شد.

کلمات کلیدی: پاک‌سازی، خاک، نانومواد، پلی آروماتیک، فتوکاتالیست

مقدمه

محیط زیست با احتمال سرطان‌زاوی و جهش ژنی در منابع زنده به‌شمار می‌رود که بر حذف آنها از محیط بسیار تاکید شده است. همچنین آژانس (USEPA)^۱ قوانین سخت‌گیرانه‌ای در مورد حضور آنها در محیط‌های زنده وضع نموده است [۱].

هیدروکربن‌های پلی آروماتیک (PAHs)^۲ نظیر فنانترن، نفتالن، پایران، فلورانتن و بنزوآلفاپایران، یک گروه عمده از میکروآلاینده‌های بالقوه خطرناک برای

*مسئول مکاتبات

1. Polycyclic Aromatic Hydrocarbon
2. United State Environmental Protection Agency

roshania@ripi.ir

آدرس الکترونیکی

و فناورین از سطح خاک‌های آلوده استفاده نمودند [۷]. درخصوص تخریب سم آفت‌کش بای‌فنیل‌پلی‌کلره^۴ (PCB) دیورون^۵ در خاک آلوده با استفاده از فتوکاتالیست TiO_2 در مجاورت با تابش نور خورشید، درصد حذف بالایی از ماده Hamerski آلینده گزارش شده است [۶]. براساس اظهارات Hamerski و همکارانش، موثرترین فتوکاتالیست برای پاکسازی خاک‌های آلوده به مواد نفتی استفاده از دی‌اکسیدتیتانیوم (TiO_2) اصلاح شده به‌وسیله کلسیم است [۸ و ۹]. حذف ترکیبات چندحلقه‌ای آروماتیک شامل پایرن (PYRE)، فنانترن (PHE) و بنزو[α]پایرن (BaP) به عنوان مدل آلینده و نانوذره TiO_2 به عنوان فتوکاتالیزور در داخل یک فتوراکتور تخریب مجهز به اشعه فرابنفش (UV) در دمای ۳۰ °C مورد ارزیابی قرارگرفت. نتایج تحقیقات به دست آمده مبین کارآیی نانوذره TiO_2 در تخریب فتوکاتالیستی آلینده‌های فوق با ۵٪ وزنی از کاتالیست TiO_2 به ترتیب از ۱۹۲/۵۳، ۱۳۰/۷۷ و ۵۳۲/۱۵ ساعت، از ۰/۹۶۳۰ به ۰/۵۳ ساعت و از ۳۶۳/۲۲ به ۱۰۳/۲۶ ساعت کاهش یافته است. در حالت‌های اسیدی یا بازی به ترتیب یون‌های H^+ و OH^- در محیط واکنش تولید می‌شود که موجب پیشرفت واکنش و تخریب ماده آلینده می‌گردد [۹ و ۱۰]. با توجه به آلودگی خاک به مواد نفتی در برخی از مناطق صنعتی جنوب کشور، بهره‌گیری از فناوری اکسیداسیون فتوکاتالیستی^۶ از اهمیت ویژه‌ای برخوردار است.

بخش تجربی

با توجه به منابع علمی بررسی شده و نیز تجربه قبلی ما، در این کار پژوهشی تاثیر سه متغیر: نوع UV کاتالیست، درصدوزنی کاتالیست و زمان تابش UV بر روی درصد کاهش جذب پایرن از خاک بررسی شد. نانوکاتالیست‌های انتخابی دی‌اکسیدتیتانیوم، اکسیدروی و دی‌اکسیدقلع با سطوح درصد مختلف

1. In Situ Remediation

2. Photocatalytic Removal

3. Ultra Violet

4. Polychlorinated Biphenyls

5. Diurn

6. Photocatalytic Oxidation Process

در حال حاضر پاکسازی خاک‌های آلوده به ترکیبات سمی با استفاده از روش‌های فیزیکی، شیمیایی و بیولوژیکی با محدودیت‌هایی همراه است. اغلب روش‌های فیزیکی قادر به حذف آلایینده‌ها در غلظت کم از محیط نیستند. در روش‌های شیمیایی از ماده اکسید کننده قوی نظری پراکسیدهیدروژن یا پرمونگنات‌پتابسیم استفاده می‌شود که حذف آلودگی را نسبت به تصفیه بیولوژیکی تسريع می‌نماید ولی طی آن مواد جانبی خطرناک تولید می‌شود. آژانس حفاظت محیط‌زیست آمریکا مناسب‌ترین و اقتصادی‌ترین روش پاکسازی خاک‌های آلوده را پاکسازی درجا^۱ معرفی نموده است [۲ و ۳]. در فناوری نوین، روش فتوکاتالیستی^۲ به عنوان یک تکنولوژی سریع و موفق معرفی شده که از نانو اکسیدهای فلزی ZnO ، WO_3 ، SiO_2 ، Fe_2O_3 و TiO_2 برای اصلاح منابع محیط‌زیست استفاده می‌شود [۴]. نتایج مطالعات نشان می‌دهد دی‌اکسیدتیتانیوم نسبت به سایر فتوکاتالیست‌ها در حذف پایرن برتری داشته و به علت ویژگی‌های نوری و الکتریکی، قیمت پایین، فعالیت فتوکاتالیستی بالا، ثبات شیمیایی و زیست‌سازگاری در رفع معضلات زیست‌محیطی کاربردهای فراوانی دارد. روش حذف فتوکاتالیستی مواد آلایینده بر خلاف سایر روش‌های تصفیه بدون تخریب ساختار مولکولی نظری جذب سطحی، باعث تجزیه ساختار مولکول‌های آلی در اثر واکنش اکسیداسیون و احیاء در سطح کاتالیزور می‌شود. در واکنش‌های فتوکاتالیستی، ذرات کاتالیست از نور به عنوان منبع انرژی در تخریب مواد آلی و تبدیل آنها به مواد بی‌ضرر مانند H_2O و CO_2 بهره می‌برند [۵]. در مورد تصفیه آب، تحقیقات نشان می‌دهد هیدروکربن‌های آلیفاتیک کلردار با استفاده از این روش کلرزدایی شده و به CO_2 و H_2O تجزیه می‌شوند. به علاوه، بسیاری از ترکیبات آروماتیک که در برابر واکنش‌های اکسیداسیونی معمولی مقاومند، با این روش به راحتی از بین می‌روند. در طبیعت، فرآیند فتوکاتالیستی به شدت تابش UV^۳ خورشید و زمان تابش وابسته است [۶]. از سال‌های گذشته تحقیقاتی در زمینه استفاده از نانوفتوکاتالیزورها برای پاکسازی خاک‌های آلوده آغاز شده است. برای مثال در سال ۲۰۰۹ دونگ و همکارانش از نانوذره TiO_2 و پرتو UV در حذف پایرن

پژوهش نفت

شماره ۸۳

جدول طراحی فاکتوریال کامل نیازمند ۲۷ آزمایش بود ولیکن با توجه به افزایش درصد نانوکاتالیست به ۵ سطح، تعداد آزمایش‌ها به ۵۲ عدد رسید. شرایط آزمایش‌های طراحی شده در جدول ۱ ارائه شده است.

۱۰٪ وزنی بوده و زمان تابش UV نیز در بازه زمان‌های ۱۰، ۱۵ و ۲۰ ساعت در نظر گرفته شد. جهت کسب داده‌های قابل اعتماد آزمایش‌ها ۲ و گاهی ۳ بار تکرار گردید. در صورتی که هر کدام از سه متغیر فوق در سه سطح استفاده می‌شد،

جدول ۱- شرایط آزمایش‌های طراحی شده

ردیف	زمان تابش (hr)	رطوبت وزنی	نحوه کatalیز	تعداد آزمایش	ردیف	زمان تابش (hr)	رطوبت وزنی	نحوه کatalیز	تعداد آزمایش
۳۶/۵۴	۱۰	۱۰	TiO ₂	۲۷	۴۲/۳۱	۱۰	۲	TiO ₂	۱
۳۸/۴۶	۱۰	۱۰	TiO ₂	۲۸	۴۴/۲۳	۱۰	۲	TiO ₂	۲
۲۶/۹۲	۱۰	۱۰	TiO ₂	۲۹	۳۲/۶۹	۱۰	۲	SnO ₂	۳
۳۴/۶۲	۱۰	۱۰	TiO ₂	۳۰	۳۰/۷۷	۱۰	۲	SnO ₂	۴
۴۸/۰۸	۱۰	۱۰	TiO ₂	۳۱	۳۴/۶۲	۱۰	۲	ZnO	۵
۴۸/۰۸	۱۰	۱۰	TiO ₂	۳۲	۵۰/۰۰	۱۰	۴	TiO ₂	۶
۷۱/۱۵	۲۰	۱۰	TiO ₂	۳۳	۴۸/۰۸	۱۰	۴	TiO ₂	۷
۷۱/۱۵	۲۰	۱۰	TiO ₂	۳۴	۳۸/۴۶	۱۰	۴	SnO ₂	۸
۳۲/۶۹	۱۰	۱۰	SnO ₂	۳۵	۳۲/۶۹	۱۰	۴	SnO ₂	۹
۳۰/۷۷	۱۰	۱۰	SnO ₂	۳۶	۳۴/۶۲	۱۰	۴	SnO ₂	۱۰
۳۴/۶۲	۱۰	۱۰	SnO ₂	۳۷	۳۹/۴۲	۱۰	۴	ZnO	۱۱
۶۱/۰۴	۱۵	۱۰	SnO ₂	۳۸	۳۴/۶۲	۱۰	۴	ZnO	۱۲
۶۱/۰۴	۱۵	۱۰	SnO ₂	۳۹	۳۸/۴۶	۱۰	۴	ZnO	۱۳
۵۷/۶۹	۲۰	۱۰	SnO ₂	۴۰	۵۱/۹۲	۱۰	۶	TiO ₂	۱۴
۵۷/۶۹	۲۰	۱۰	SnO ₂	۴۱	۴۴/۲۲	۱۰	۶	TiO ₂	۱۵
۳۸/۴۶	۱۰	۱۰	ZnO	۴۲	۵۷/۶۹	۱۰	۶	SnO ₂	۱۶
۳۰/۷۷	۱۰	۱۰	ZnO	۴۳	۵۵/۷۷	۱۰	۶	SnO ₂	۱۷
۱۹/۲۳	۱۰	۱۰	ZnO	۴۴	۴۴/۲۲	۱۰	۶	ZnO	۱۸
۴۸/۰۸	۱۵	۱۰	TiO ₂	۴۵	۴۶/۱۵	۱۰	۶	ZnO	۱۹
۶۱/۰۴	۱۵	۱۰	SnO ₂	۴۶	۴۴/۲۲	۱۰	۶	ZnO	۲۰
۶۴/۱۵	۱۵	۱۰	ZnO	۴۷	۵۷/۶۹	۱۰	۸	TiO ₂	۲۱
۴۶/۱۵	۱۵	۱۰	ZnO	۴۸	۴۴/۲۰	۱۰	۸	TiO ₂	۲۲
۷۱/۱۵	۲۰	۱۰	TiO ₂	۴۹	۴۴/۲۲	۱۰	۸	ZnO	۲۳
۵۷/۶۹	۲۰	۱۰	ZnO	۵۰	۴۴/۲۲	۱۰	۸	SnO ₂	۲۴
۳۶/۵۱	۲۰	۱۰	ZnO	۵۱	۳۲/۷۲	۱۰	۸	ZnO	۲۵
۳۶/۵۴	۲۰	۱۰	ZnO	۵۲	۳۲/۶۹	۱۰	۸	ZnO	۲۶

و شیمیایی خاک آزمایشی نظر pH^۱، EC^۲، FC^۳ و همچنین درصد ماده کل آلی، درصد کربن آلی و عناصر بر اساس روش‌های متداول استاندارد انجام شد که نتایج آن در جداول ۲ و ۳ ارائه شده است. خاک مدلیای آزمایشی به مدت ۳۰ دقیقه در دمای ۱۲۱°C در اتوکلاو (ZnO model HA- 240M HIRAYAMA ژاپن) استریل گردید و در ظروف استیل در دمای ۴۰°C در محیطی خشک و تاریک نگهداری شد. محلول پایرن به دقت به خاک تزریق گردیده و در محیط ۲۳°C آزمایشگاه نمونه تهیه شده برای ۲۴ ساعت خشک شد. خاک استوک حاوی غلظت ۴۰ mg/kg پایرن به عنوان محیط آلوده در آزمایشات (تازه تهیه شده) استفاده شد [۸]. مشخصات پایرن، ساختمان مولکولی، طیف جذب فرابنفش آن و همچنین تجهیزات فتوراکتور تخریب پایرن در شکل‌های ۱ و ۲ آمده است. آزمایشات حاوی ۵ gr خاک آلوده به ۴۰ ppm پایرن در بشقاب‌های شیشه‌ای پتری^۳ با تکرار توزین شد. آزمایشات حاوی ۵ gr خاک آلوده به ۴۰ قسمت در میلیون پایرن در بشقاب‌های شیشه‌ای پتری^۳ با ۳ تکرار توزین شد. لازم به توضیح است که نمونه‌های کنترل یا شاهد فاقد کاتالیست مصرفی می‌باشد. سپس به هر بشقاب پتری به میزان ۲، ۴، ۶، ۸ و ۱۰ درصد وزنی از نانوذرات SnO₂ و ZnO و TiO₂ به خاک آلوده به پایرن اضافه گردید که با اختلاط خوب سطح ذرات خاک از پودرهای نانوفتوکاتالیست کاملاً پوشانده شد و نهایتاً در سطح بشقاب پتری به طور یکنواخت توزیع گردید.

جدول ۳- درصد ترکیب و عناصر موجود در خاک تمیز

درصد وزنی	اجزاء	درصد وزنی	اجزاء
۰/۰ ۱	Zn	۴۳	SiO _۲
۰/۰ ۴	Sr	۳۴	Al
۰/۰ ۲	Mg	۳/۷	Fe
۰/۰ ۷	S	۲/۸	Ca
۸/۰	L.O.I.900°C	۰/۰ ۱	Cr
۴۳	α-SiO _۲	۰/۲۹	Ti
۰/۰ ۹	SrSi	۰/۲۲	K
۷/۱	CaCO _۳	۰/۵۲	Na

1. Electrical Conductivity

2. Field Capacity

3. Petri Dish

مواد مصرفی

الف- پودر دی‌اکسید تیتانیوم (TiO₂): با نسبت ۰/۸۰ anatase و ۰/۲۰ rutile، مساحت سطح ۵۰ m²/gr، قطر ذرات ۲۰ nm با

درجه خلوص ۹۹/۵٪، Degussa-P25 آلمان،

ب- پودر اکسید روی (ZnO): اندازه ذرات ۳۰ nm درجه خلوص ۹۹/۷٪ و مساحت سطح ۳۵ m²/gr آلمان Merk

ج- پودر اکسید قلع (SnO₂): اندازه ذرات ۵ μm با درجه خلوص ۹۹٪، Merk پایرن (PYRE): با

درجه خلوص ۹۹٪، Aldrich امریکا

د- متانول: با درجه خلوص ۹۹/۵٪، Merk آلمان

ه- نرمال هگزان: درجه خلوص ۹۸/۵٪، Merk آلمان- سیلیکاژل فعال: Korngröße 0.63-،

۰.200mm, 70-230 mesh Kiesel gel 60 reinst آلمان.

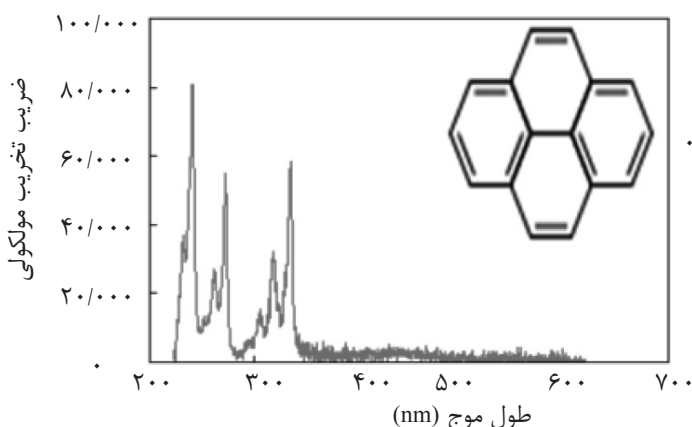
و- لامپ UV-C: ۱۵ W Osram، ۴۵۰ mm × ۳۰، برای انجام واکنش‌های فتوکاتالیستی از خاک آلوده به پایرن با غلظت ۴۰ mg/kg با تکرار ۳ تا ۵ درجه خلوص ۹۹٪،

روش کار

در این تحقیق به منظور پاکسازی خاک آلوده به ترکیبات PAHs، ۱۰ kg نمونه خاک لومیرسی (شن ۱۹٪، لیمون ۴۳٪ و رس ۳۸٪) از منطقه تأسیسات انبار نفت ری به آزمایشگاه پژوهشگاه صنعت نفت منتقل شد. خاک خشک شده از الک شماره ۲۰ عبور داده شد تا محیط یکنواخت آزمایشی با دانه بندی قطر کمتر از ۸ mm به دست آید. طی سه نوبت خاک با استن کاملاً شستشو شد تا هر گونه ترکیب آلی احتمالی از آن خارج شود. سنجش‌های اولیه مدلیای آزمایشی شامل مشخصات فیزیکی

جدول ۲- مشخصات فیزیکی و شیمیایی نمونه خاک تمیز

نتایج	آزمایشات
۸/۲۵	pH
۰/۲۸ mS/cm	EC
۰/۱۸۴ cm ^۳ H _۲ O/cm ^۳ Soil	FC
۰/۲۹۲	درصد کربن آلی
۰/۵۰۴	درصد ماده آلی



ماده آلاینده: pyrene
فرمول شیمیابی: $C_{16}H_{10}$
جرم مولکولی: ۲۰۲
حلالیت در آب: 0.13 mg/L
 نقطه ذوب: 150°C
 نقطه جوش: 404°C
 فشار بخار: $6 \times 10^{-4} \text{ mmHg}$
 دانسیته: ۱/۲۷
 نیمه عمر: در خاک ۷۳ روز

شکل ۱- مشخصات پایرن، ساختمان مولکولی و طیف جذب فرابنفش آن

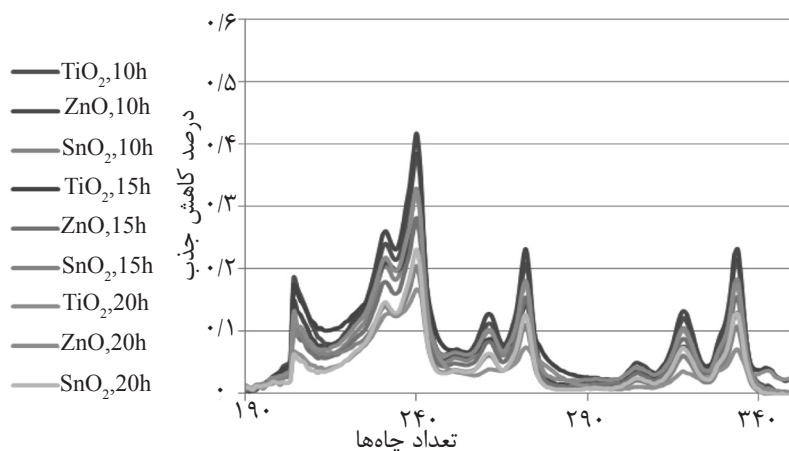


شکل ۲- کابینت تحریب مجهر به شیکر و منبع نور فرابنفش

روش استخراج و آنالیز

بر اساس روش استاندارد D-۵۵۲۰، پایرن از نمونه‌های آزمایشی با سه تکرار، طی بازه‌های زمانی ۱۰، ۱۵ و ۲۰ ساعت معرض عبور نور UV، با کمک حلal نرمال هگزان و دستگاه سوکسیله پس از ۳ ساعت استخراج شد. جداسازی و حذف ترکیبات قطبی از ترکیبات غیرقطبی و عصاره‌گیری با استفاده از ۵ gr-پودر جاذب سیلیکاژل فعال با مش چشمی ۲۳۰-۷۰ صورت گرفت. برای تعیین میزان راندمان حذف پایرن از خاک، طیف‌های جذبی در طول موج‌های ۱۹۰ تا ۴۰۰ nm توسط دستگاه اسپکتروفلورسانس شرکت SHIMADZU-2550 ژاپن ترسیم شد. طیف‌های جذبی پایرن ناشی از تاثیر غلظت‌های ۲، ۴، ۶، ۸ و ۱۰٪ وزنی نانوکاتالیزورهای ZnO ، TiO_2 و SnO_2 و اثر تابش UV طی بازه زمانی ۱۰، ۱۵ و ۲۰ ساعت منعکس می‌باشد (شکل ۳).

در داخل فتوراکتور بشقاب‌های حاوی خاک آزمایشی بر روی همزن برقی با دور ۲۵۰ rpm و در فاصله ۱۸ cm در معرض تابش UV (۱۰۰ عدد لامپ UV-C در اندازه $450 \times 30 \text{ mm}$ در فواصل $3/5 \text{ cm}$ از یکدیگر) برای مدت ۱۰، ۱۵ و ۲۰ ساعت قرار گرفت. نمونه‌های خاک آزمایشی در معرض تابش UV بر روی شیکر زیر و رو گردید. به منظور کنترل دما و تهویه هوای داخل فتوراکتور در محدوده 30°C از یک فن خنک کننده کامپیوترا (CPU cooler fan) و جهت تامین رطوبت مورد نیاز محیط واکنش از ظروف حاوی آب در طول آزمایشات استفاده شد (شکل ۲). پس از پایان بازه‌های زمانی (۱۰، ۱۵ و ۲۰ ساعت)، اثرات تحریب و کاهش پایرن در نمونه‌های خاک آلوده و کنترل بررسی گردید و نتایج حاصل جهت تعیین میزان راندمان حذف پایرن در نمونه‌های خاک آلوده با استفاده از تغییرات طیف‌های جذبی مقایسه گردید.



شکل ۳- اثر زمان تابش فرابنفش در تغییرات طیف جذبی پایین با نانو فتوکاتالیزورهای دی اکسیدتیتانیوم، اکسیدروی و دی اکسیدقلع به میزان وزنی ۱۰٪

۱۰٪ وزنی طی ۲۰ ساعت تابش UV برابر با ۷۱/۱۵٪ ثبت گردید. در حالی که حذف پایین از خاک توسط دی اکسید قلع (SnO_2) و اکسیدروی (ZnO) با ۱۰٪ وزنی طی ۱۵ ساعت در معرض تابش فرابنفش به ترتیب ۶۴٪ و ۴۶٪ ثبت شده است. نتایج نشان داد دی اکسیدتیتانیوم نسبت به دی اکسیدقلع و اکسیدروی در تجزیه و حذف موثر پایین توان بالاتری دارد و از روند رو به رشد و نسبتاً پایداری برخوردار است. درخصوص فتوکاتالیستهای دی اکسیدروی و اکسیدقلع تا ۱۵ ساعت اولیه، فعالیت حذف روندی رو به رشد دارد و پس از آن روند تخریب به دلیل فرآیند جذب و اجذب آلاینده توسط فتوکاتالیستهای مصرفی، کاهش می‌یابد. در این موارد شاخص ارزیابی بازدهی حداکثر به پیک جذبی در محدوده طول موج ۲۴۰ nm محدود می‌شود. از مقایسه طیفهای جذبی شکل ۳ می‌توان نتیجه گرفت که نوع و درصد وزنی فتوکاتالیستهای آزمایشی و مدت تابش UV در راندمان حذف پایین تاثیرگذار است و وجود مولکولهای آب باعث افزایش سرعت واکنش در سطح کاتالیست و اکسید شدن رادیکال H^+ و تولید رادیکال OH^- می‌شود.

پتانسیل و راندمان حذف پایین از خاک با استفاده از ۱۰٪ وزنی فتوکاتالیزورهای مصرفی طی بازه زمانی مختلف به ترتیب TiO_2 ۲۰ hr > SnO_2 ۱۵ hr > ZnO ۱۵ hr بهترین است.

نتایج و بحث

از اثرات بسیار مهم PAH‌ها در انسان، می‌توان به اثرات جهش‌زایی و سرطان‌زایی برخی از آنها بهویژه بنزو آلفا پایین اشاره نمود. تحقیقات نشان می‌دهد در فرآیندهای فتوکاتالیستی، تخریب سموم و مواد آلاینده با استفاده از نانوکاتالیزورها به عوامل موثری مانند کیفیت و غلظت فتوکاتالیزور، شدت تابش و زمان تابش UV، درجه اسیدیته، محیط، غلظت ماده آلاینده، میزان اکسیژن محیط واکنش، میزان مواد هیومیک، دمای محیط واکنش، میزان رطوبت، اندازه ذرات، ضخامت خاک و ترکیبات معدنی همراه وابسته است [۱۲]. نفوذ نور در خاک بسیار محدود بوده و راندمان حذف ماده آلاینده دقیقاً به قطر ذرات بستگی دارد. به همین دلیل فرآیند حذف فتوکاتالیستی مواد آلاینده از خاک با قطر ۸ mm شد. در فرآیند فتوکاتالیستی، طول موج و شدت تابش UV بر رفتار جذب ترکیبات آلی اثر می‌گذارد و باعث تسریع در تجزیه و تبدیل ماده آلاینده به CO_2 و H_2O و تولید محصولات غیر سمی جدید می‌شود. اثرات تخریب پایین بر سطوح خاک آلوده با استفاده از سه نوع نانوفتوکاتالیزور O_2 , TiO_2 و ZnO با غلظت ۴، ۲، ۰.۸ و ۰.۱۰٪ وزنی و تاثیر تابش نور فرابنفش طی بازه زمانی ۱۰، ۱۵ و ۲۰ ساعت مورد بررسی قرار گرفت. نتایج نشان داد که هر سه فتوکاتالیزور قادر به تخریب و حذف پایین با غلظت ۴۰ mg/kg از خاک آلوده بودند. مطابق شکل ۳، بهترین راندمان تخریب با استفاده از فتوکاتالیزور TiO_2 با

ضرایب a_0 تا a_4 با استفاده از روش حداقل کردن مربعات خطأ به دست آمد. آنالیز واریانس مدل در جدول ۴ و مقادیر ضرایب مدل در جدول ۵ آمده است.

در شکل ۴ میزان کاهش جذب تجربی پایرن با مقادیر پیش‌بینی شده مدل برای آزمایش‌های مختلف رسم شده است.

در جدول ۶ شرایط بهینه برای نانوکاتالیست‌ها و پیش‌بینی درصد کاهش جذب توسط مدل رویه پاسخ ارائه شده است.

در شکل ۵ میزان کاهش جذب پیش‌بینی شده توسط مدل در برابر مقادیر تجربی رسم شده است. همان‌گونه که مشاهده می‌شود داده‌ها حوالی خط ۴۵ درجه توزیع شده‌اند که نشان دهنده توفيق مدل با داده‌های تجربی می‌باشد.

شکل‌های ۶ و ۷ توزیع باقی‌مانده‌ها را در برابر میزان کاهش جذب تجربی و نیز در برابر شماره آزمایش‌ها (جدول ۱) نشان می‌دهد. در اینجا مشاهده می‌شود که این توزیع‌ها کاملاً تصادفی بوده و روند خاصی ندارد. در شکل ۸ منحنی‌های تراز درصد کاهش میزان جذب برای نانوکاتالیست دی‌اکسیدتیتانیوم در برابر غلظت و زمان تابش رسم شده است.

جدول ۵- مقادیر عددی ضرایب (واریانس مدل) a_0 تا a_4

ضرایب	Coefficients
a_0	۸/۵۹۵۵۷۰۱۴
a_1	۱۰/۷۹۵۴۵۴۸
a_2	-۰/۷۷۲۱۴۴۴۹
a_3	۰/۲۰۱۶۳۱۷۱۶
a_4	-۰/۲۴۴۱۷۲۵۴

نتایج تحقیقات Rababah و Matsuzawa نشان داد حذف فتوکاتالیستی fluoranthene از خاک آلوده با استفاده از TiO_2 برابر با ۸۳٪ و در شرایطی که فرآیند اکسیداسیون همراه با H_2O_2 انجام گرفته، راندمان حذف تا ۹۹٪ افزایش می‌یابد [۱۳].

مدل‌سازی میزان کاهش جذب پایرن برای فتوکاتالیست دی‌اکسیدتیتانیوم و بهینه‌یابی شرایط آزمایش

با توجه به نتایج آزمایش‌ها مشاهده شد که فتوکاتالیست دی‌اکسید تیتانیوم نسبت به سایر فتوکاتالیست‌های مصرفی در جذب پایرن فعال‌تر است. از این رو مدل‌سازی میزان کاهش جذب پایرن بر حسب شرایط آزمایش‌ها با توجه به مقادیر ارائه شده در جدول ۱ برای این فتوکاتالیست انجام شد. در روش‌های مدل‌سازی فرض می‌شود که میزان کاهش جذب تابعی از شرایط آزمایش است و به صورت زیر بیان می‌شود.

(زمان تابش UV و درصد غلظت نانوکاتالیست)
 $F = \text{درصد کاهش میزان جذب}$
 در این تحقیق از روش رویه پاسخ RSM برای مدل‌سازی استفاده شد و در نهایت رابطه زیر به دست آمد.

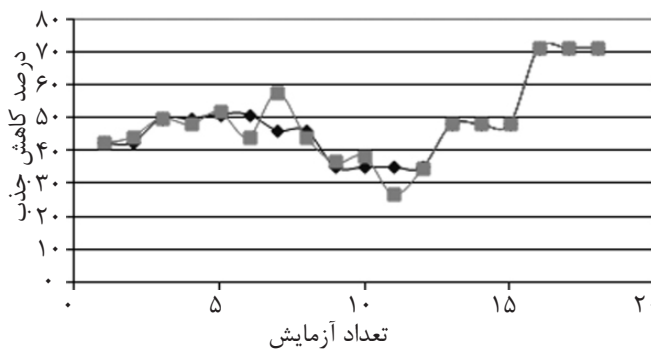
$$\begin{aligned} & + (\text{غلظت نانوکاتالیست}) \times a_1 + a_2 \times \\ & + (\text{زمان تابش UV})^2 + (\text{غلظت نانوکاتالیست}) \\ & + a_4 \times (\text{غلظت نانوکاتالیست}) \times (\text{زمان تابش}) \end{aligned}$$

جدول ۶- آنالیز واریانس مدل کاهش جذب

نسب F	میانگین مربعات	مجموع مربعات	درجه آزادسازی	منبع تغییرات
۲۸/۳۲۸۰۴	۵۹۰/۵۳۴	۲۳۶۲	۴	رگرسیون
	۲۰/۸۴۶۳	۲۷۱	۱۳	باقی‌مانده‌ها
		۲۶۳۳	۱۷	کل

زیاد بودن نسبت F در مقایسه با مقدار بحرانی جدول توزیع F نشان دهنده مناسب بودن مدل می‌باشد.

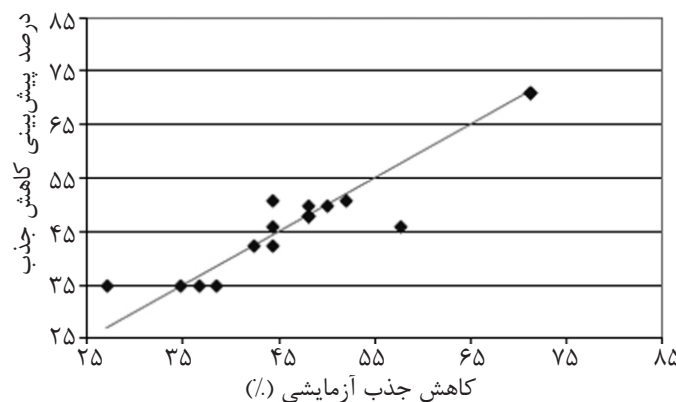
کاهش جذب٪ پیش‌بینی کاهش جذب٪



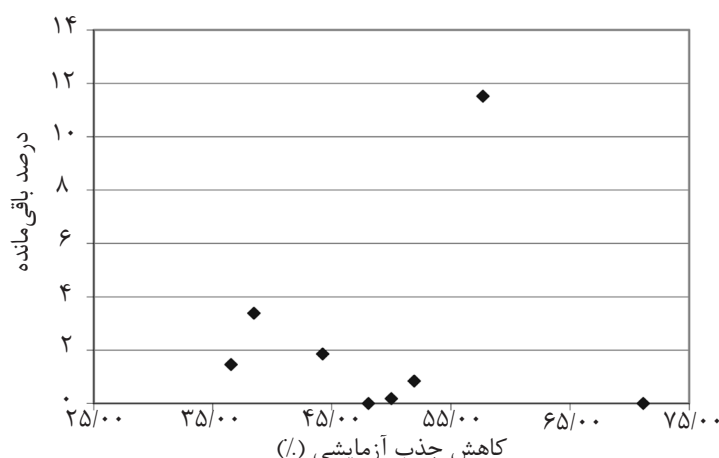
شکل ۴- میزان کاهش جذب تجربی با مقادیر پیش‌بینی مدل در برابر شماره آزمایش‌ها

جدول ۶- شرایط بهینه برای نانوکاتالیست‌های و پیش‌بینی درصد کاهش جذب توسط مدل رویه پاسخ

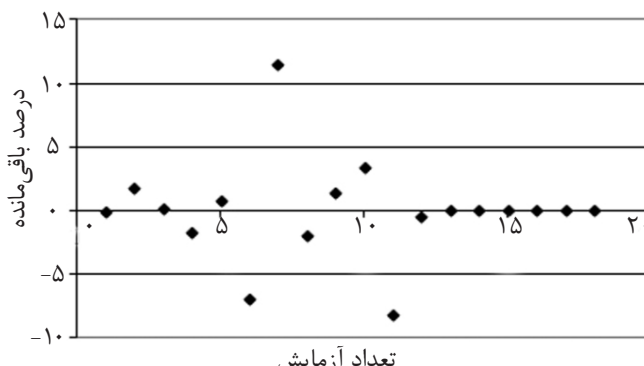
نوع کاتالیست	زمان تابش بهینه	غلاطت بهینه	بیشترین مقدار کاهش جذب پیش‌بینی شده
TiO ₂	۲۰	۳/۸۲	۱۰۰



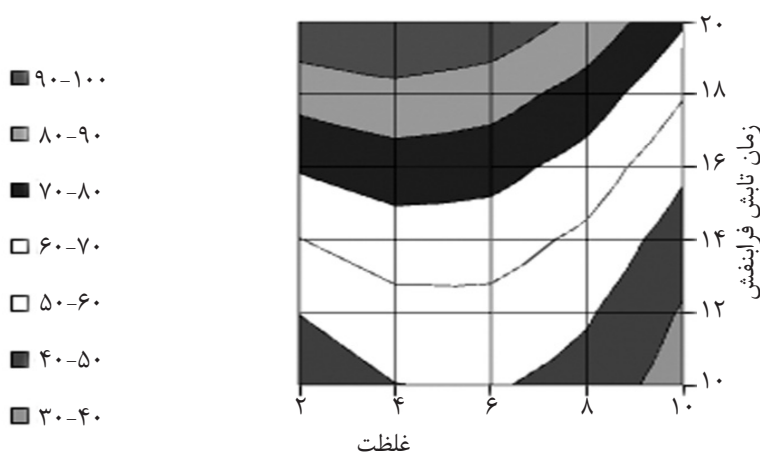
شکل ۵- میزان کاهش جذب پیش‌بینی شده توسط مدل در برابر مقادیر تجربی



شکل ۶- توزیع باقیماندها در برابر میزان کاهش جذب تجربی



شکل ۷- توزیع باقیماندها در برابر شماره آزمایش



شکل ۸- منحنی‌های تراز درصد کاهش میزان جذب برای نانوفتوکاتالیست دی‌اکسید تیتانیوم در برابر غلظت و زمان تابش

راندمان کمتری دارد. همچنین مشخص گردید پارامترهایی مانند نوع و غلظت فتوکاتالیزور و زمان تابش نور UV باعث تسريع در فرآیند فتوکاتالیستی تجزیه و حذف آلاینده‌ها از محیط می‌گردد. در مدل‌سازی حذف پایرن، قویاً درصد وزنی بیشتر فتوکاتالیزور TiO_2 و زمان تابش طولانی تر UV در روند اصلاح و درمان خاک آلوده به پایرن می‌تواند موثر واقع شود. بالاترین راندمان حذف پایرن از خاک با درصد وزنی یکسان (wt% ۱۰) برای نانوفتوکاتالیست‌های دی‌اکسید تیتانیوم (۲۰ ساعت تابش UV)، دی‌اکسید قلع و اکسید روی (۱۵ ساعت تابش UV) به ترتیب ۷۱٪، ۶۴٪ و ۴۶٪ می‌باشد.

نتیجه‌گیری

با توجه به مطالب ارائه شده می‌توان نتیجه گرفت که فرآیند تخریب فتوکاتالیستی پایرن از خاک آلوده با غلظت ۴۰ ppm با استفاده از ۱۰٪ وزنی از هر سه نوع فتوکاتالیزور TiO_2 ، ZnO و SnO_2 در مجاورت با تابش نور UV امکان‌پذیر و بیشترین تخریب برابر با ۷۱٪ ثبت شده است. این فرآیند بسیار سریع با نیمه عمر حدود ۶ ساعت و تحت شرایط بهینه انجام شده است.

تغییرات طیف‌های جذبی حذف پایرن از خاک آلوده نشان می‌دهد، نانوفتوکاتالیزور ZnO نسبت به TiO_2 و SnO_2

مراجع

- [1]. Marins Pala D. Carvalho D. and Lippel G. "A suitable model to describe bioremediation of petroleum contaminated soil," International Biodeterioration, Vol. 58, pp. 254-260. 2006.
- [2]. کردوانی پ. «حافظت خاک»، انتشارات دانشگاه تهران. صفحات ۱۱۲، ۱۱۵، ۲۱۳ و ۱۳۶۷.
- [3]. دبیری م. «آلودگی محیط‌زیست هوای آب، خاک و صوت»، انتشارات اتحاد. صفحات ۳۷، ۳۵، ۴۱ و ۱۳۷۵.

- [4]. Karn B., Kuiken T., Otto M., "Nanotechnology and *in situ* remediation: A review of the benefits and potential risks," Environmental Health Perspectives 117: pp. 1823-1831, 2009.
- [5]. Boehm "Nanotechnology in environmental applications," Report NAN039A, BCC Research, Wellesley, 2006.
- [6]. USEPA, "US EPA Workshop on Nanotechnology for Site Remediation," Washington DC. Available <http://epa.gov/ncer/publications/workshop/pdf>. , 2005.
- [7]. Dong D., Li P., Li X., Xu C., Gong D., Zhang Y., Zhao Q., Li P., "Photo catalytic degradation of phenanthrene and pyrene on soil surfaces in the presence of nanometer rutile TiO_2 under UV-irradiation," Chemical Engineering Journal, Vol. 158, issue 3, pp. 378-383, Jan. 2010.
- [8]. Chang M. C., Shu H. Y., Hsieh W. P., and Wang M. C., "Remediation of soil contaminated with pyrene using ground nanoscale zero-valent iron," Journal of the Air & Waste Management Association 57: pp. 221-227, 2007.
- [9]. Hamerski M., Joanna Grzechulska, Antoni W., and Morawski, "Photocatalytic purification of soil contaminated with oil using modified TiO_2 powders," Department of Water Technology and Environmental Protection, Technical University of Szczecin, Poland. May 2013.
- [10]. Zhang L., Li P., Gong Z., and Li X. "Photocatalytic degradation of polycyclic aromatic hydrocarbons on soil surfaces using TiO_2 under UV light," Institute of Applied Ecology, Chinese Academy of Sciences, Shenyang, China, Oct. 30, 2008.
- [11]. Li-hong ZH., Pei-jun L., Zong qiang G., Oni Adeola A., "Photochemical behavior of benzo[a]pyrene on soil surfaces under UV light irradiation- Institute of Applied Ecology," Chinese Academy of Sciences, Shenyang, China. Journal of Environmental Sciences, Vol. 18, No.6, pp. 1226-1232, 2006.
- [12]. Donga D., Li X., Zhaoa Q., Zhangb Y., Jia Ch., Li P., "Investigation on the photocatalytic degradation of pyrene on soil surfaces using nanometer anatase TiO_2 under UV irradiation: Institute of Applied Ecology," Chinese Academy of Sciences", Shenyang, China, Journal of Hazardous Materials, Vol. 192, No.3, pp. 859–863, 2010.
- [13]. Gan S., "Remediation of soils contaminated with polycyclic aromatic hydrocarbons (PAHs) a Department of Chemical and Environmental Engineering," The University of Nottingham Malaysia Campus, Malaysia . Journal of Hazardous Materials, Vol. 172, Issues 2–3, pp. 532–549, 30 Dec. 2009.